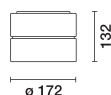
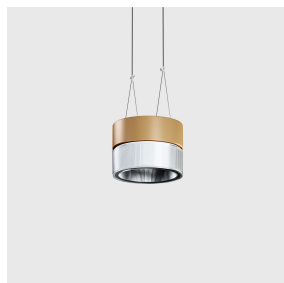


Dernière mise à jour des informations: Mars 2025

Configuration du produit: RN94.R9

RN94.R9: Appareil à suspendre - Ø172 - UGR < 19 - Champagne/Transparent/Noir Transparent

**Référence produit**

RN94.R9: Appareil à suspendre - Ø172 - UGR < 19 - Champagne/Transparent/Noir Transparent

Description technique

Appareil d'éclairage direct - installation en suspension Source LED à haut indice de rendu de couleur - émission à luminance contrôlée L < 3000 cd/mq - UGR < 19 - idéale pour les espaces équipés d'écrans d'ordinateurs. Groupe émetteur en PMMA composé d'un réflecteur prismatisé transparent combiné à un récupérateur de flux et à un écran diffuseur - un revêtement intérieur en polycarbonate définit visuellement le groupe optique. Structure extérieure du corps lumineux à double élément en aluminium tourné - finition peinture uniforme ou combinée. Le pratique système de fixation à baïonnette permet de séparer les deux parties pour effectuer toutes les opérations préalables à la suspension. La partie supérieure du corps lumineux est prévue pour le réglage en longueur, le câblage et le blocage des câbles de suspension / alimentation fournis avec la patère accessoire, indispensable pour obtenir un produit complet. Unité d'alimentation gradable DALI intégrée.

Installation

Installation en suspension avec patère accessoire à commander séparément.

Coloris

Champagne/Transparent/Noir Transparent (R9)

Poids (Kg)

1.09

Montage

suspendu

Câblage

Driver gradable DALI intégré - bornier de câblage positionné en partie supérieure de la structure.

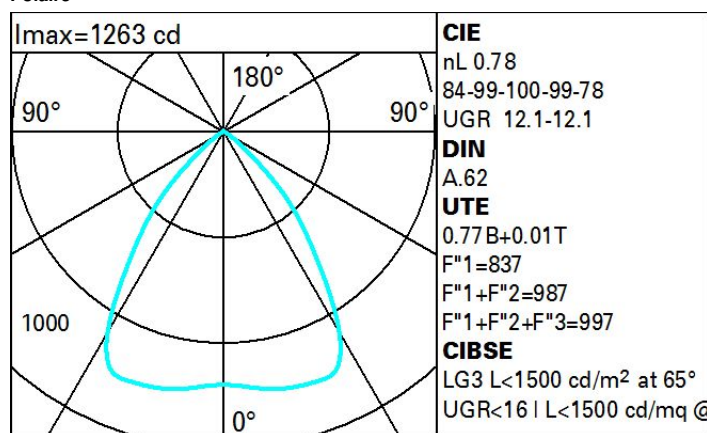
Conforme à la norme EN60598-1 et à la réglementation en vigueur (o 'à la réglementation relative')



IP40

**Données techniques**

| | | | |
|--|-------|--------------------------------------|--------|
| Im du système: | 1934 | IRC (minimum): | 90 |
| W du système: | 16 | Température de couleur [K]: | 4000 |
| Im source: | 2480 | MacAdam Step: | 2 |
| W source: | 16 | Code Lampe: | LED |
| Efficacité lumineuse (lm/W, valeurs du système): | 120.9 | Nombre de lampes par groupe optique: | 1 |
| Im en mode secours: | - | Code ZVEI: | LED |
| Flux total émis à un angle de 90° ou plus [Lm]: | 21 | Nombre de groupes optiques: | 1 |
| Light Output Ratio (L.O.R.) [%]: | 78 | Control: | DALI-2 |

Polaire

Coefficients d'utilisation

| R | 77 | 75 | 73 | 71 | 55 | 53 | 33 | 00 | DRR |
|------|----|----|----|----|----|----|----|----|-----|
| K0.8 | 64 | 59 | 56 | 53 | 58 | 55 | 54 | 51 | 66 |
| 1.0 | 68 | 64 | 60 | 58 | 63 | 60 | 59 | 56 | 72 |
| 1.5 | 74 | 70 | 68 | 65 | 69 | 67 | 66 | 63 | 81 |
| 2.0 | 77 | 74 | 72 | 70 | 73 | 71 | 70 | 67 | 87 |
| 2.5 | 79 | 77 | 75 | 73 | 75 | 74 | 73 | 70 | 91 |
| 3.0 | 80 | 78 | 77 | 75 | 77 | 75 | 74 | 72 | 93 |
| 4.0 | 81 | 80 | 79 | 78 | 78 | 77 | 76 | 73 | 95 |
| 5.0 | 82 | 81 | 80 | 79 | 79 | 78 | 77 | 74 | 96 |

Courbe limite de luminance

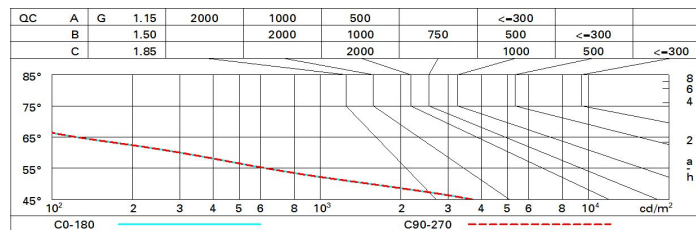


Diagramme UGR

| Corrected UGR values (at 2480 lm bare lamp luminous flux) | | | | | | | | | | | |
|--|------|---------------------|------|------|------|------|-------------------|------|------|------|------|
| Reflect.: ceiling/cav walls work pl. Room dim x y | | viewed crosswise | | | | | viewed endwise | | | | |
| | | 0.70 | 0.70 | 0.50 | 0.50 | 0.30 | 0.70 | 0.70 | 0.50 | 0.50 | 0.30 |
| | | 0.50 | 0.30 | 0.50 | 0.30 | 0.30 | 0.50 | 0.30 | 0.50 | 0.30 | 0.30 |
| | | 0.20 | 0.20 | 0.20 | 0.20 | 0.20 | 0.20 | 0.20 | 0.20 | 0.20 | 0.20 |
| | | | | | | | | | | | |
| 2H | 2H | 12.7 | 13.5 | 13.0 | 13.7 | 14.0 | 12.7 | 13.5 | 13.0 | 13.7 | 14.0 |
| | 3H | 12.5 | 13.2 | 12.9 | 13.5 | 13.8 | 12.6 | 13.2 | 12.9 | 13.5 | 13.8 |
| | 4H | 12.5 | 13.1 | 12.8 | 13.4 | 13.8 | 12.5 | 13.1 | 12.8 | 13.4 | 13.8 |
| | 6H | 12.4 | 13.0 | 12.8 | 13.3 | 13.7 | 12.4 | 13.0 | 12.8 | 13.3 | 13.7 |
| | 8H | 12.4 | 12.9 | 12.7 | 13.3 | 13.6 | 12.4 | 12.9 | 12.8 | 13.3 | 13.6 |
| | 12H | 12.3 | 12.9 | 12.7 | 13.2 | 13.6 | 12.3 | 12.9 | 12.7 | 13.2 | 13.6 |
| | | | | | | | | | | | |
| 4H | 2H | 12.5 | 13.1 | 12.8 | 13.4 | 13.8 | 12.5 | 13.1 | 12.8 | 13.4 | 13.8 |
| | 3H | 12.3 | 12.9 | 12.7 | 13.2 | 13.6 | 12.3 | 12.9 | 12.7 | 13.2 | 13.6 |
| | 4H | 12.3 | 12.7 | 12.7 | 13.1 | 13.5 | 12.3 | 12.7 | 12.7 | 13.1 | 13.5 |
| | 6H | 12.2 | 12.6 | 12.6 | 13.0 | 13.4 | 12.2 | 12.6 | 12.6 | 13.0 | 13.4 |
| | 8H | 12.1 | 12.5 | 12.6 | 12.9 | 13.4 | 12.1 | 12.5 | 12.6 | 12.9 | 13.4 |
| | 12H | 12.1 | 12.4 | 12.6 | 12.9 | 13.4 | 12.1 | 12.4 | 12.6 | 12.9 | 13.3 |
| | | | | | | | | | | | |
| 8H | 4H | 12.1 | 12.5 | 12.6 | 12.9 | 13.4 | 12.1 | 12.5 | 12.6 | 12.9 | 13.4 |
| | 6H | 12.0 | 12.3 | 12.5 | 12.8 | 13.3 | 12.0 | 12.3 | 12.5 | 12.8 | 13.3 |
| | 8H | 12.0 | 12.3 | 12.5 | 12.7 | 13.3 | 12.0 | 12.3 | 12.5 | 12.7 | 13.3 |
| | 12H | 11.9 | 12.2 | 12.5 | 12.7 | 13.2 | 11.9 | 12.2 | 12.5 | 12.7 | 13.2 |
| | | | | | | | | | | | |
| 12H | 4H | 12.1 | 12.4 | 12.6 | 12.9 | 13.3 | 12.1 | 12.4 | 12.6 | 12.9 | 13.4 |
| | 6H | 12.0 | 12.3 | 12.5 | 12.7 | 13.3 | 12.0 | 12.3 | 12.5 | 12.7 | 13.3 |
| | 8H | 11.9 | 12.2 | 12.5 | 12.7 | 13.2 | 11.9 | 12.2 | 12.5 | 12.7 | 13.2 |
| | | | | | | | | | | | |
| Variations with the observer position at spacing: | | | | | | | | | | | |
| S = | 1.0H | 3.1 / -8.4 | | | | | 3.1 / -8.4 | | | | |
| | 1.5H | 5.7 / -12.9 | | | | | 5.7 / -12.9 | | | | |
| | 2.0H | 7.7 / -15.2 | | | | | 7.7 / -15.2 | | | | |